



پژوهشنامه اقتصاد کلان

علمی - پژوهشی

سال هفتم، شماره‌ی ۱۳، نیمه‌ی اول ۱۳۹۱

تخمین تولید بالقوه^۱ و شکاف تولید^۲ با تأکید بر رهیافت‌های فیلترینگ با کاربردی برای اقتصاد ایران (۱۳۶۷:۱-۱۳۸۶:۴)

* کامبیز هژیر کیانی

** علیرضا مرادی

تاریخ پذیرش: ۱۳۸۹/۸/۲۲

تاریخ دریافت: ۱۳۸۸/۴/۱۹

چکیده

مقاله‌ی حاضر به بررسی رهیافت‌های متفاوت برای تخمین تولید بالقوه و شکاف تولید با تأکید بر رهیافت‌های فیلترینگ سری‌های زمانی می‌پردازد. اهمیت اندازه‌گیری تولید بالقوه و شکاف تولید از آن جا حائز اهمیت است که از این مفاهیم در حوزه‌ی رشد پایدار غیر تورمی استفاده می‌شود، و به اقتصاددانان و سیاست‌گذاران اقتصادی این امکان را می‌دهد که سیاست‌های کلان اقتصادی را مورد ارزیابی قرار دهند. این ابزار به سیاست‌گذاران القا می‌کند که باید سیاست‌های تقاضای کل در چه شرایطی انساطوی و یا انقباضی باشد. مقاله‌ی حاضر در پایان نتایج روش‌های مختلف تخمین تولید بالقوه و شکاف تولید را برای داده‌های فعلی ایران ارائه می‌کند و نشان می‌دهد که روش‌های مختلف به شکل گیری نتایج متفاوت می‌انجامد. در بین روش‌های مطرح شده در این مقاله، دو روش فیلتر هداییک - پرسکات و فیلتر روتمبرگ که رهیافت‌های ناپارامتری هستند و روش فضای حالت و فیلتر کالمن که رهیافتی پارامتری است بر سایر روش‌ها ترجیح داده می‌شود.

واژه‌های کلیدی: تولید بالقوه، شکاف تولید، تجزیه‌ی بوریج- نلسن، فیلتر روتمبرگ

طبقه‌بندی JEL: E32,E17,C22,C14

1- Potential Output

2-Output Gap

* نویسنده مسئول - استاد گروه اقتصاد دانشگاه شهید بهشتی

** عضو هیأت علمی گروه اقتصاد دانشگاه آزاد اسلامی کرمانشاه و دانشجوی دکتری اقتصاد واحد علوم و تحقیقات

۱- مقدمه

طبق تعریف، شکاف تولید درصد تفاضل نسبی بین تولید ناخالص داخلی واقعی با میزان تولید بالقوه است. این متغیر برای سیاست گذاران و محققان ادوار تجاری از اهمیت بسیار زیادی برخوردار است؛ زیرا مقدار مثبت شکاف تولید به مثابه‌ی قرار داشتن اقتصاد در شرایط رونق و منفی بودن آن به مفهوم در رکود بودن و یا حداقل در شرایط کمتر استفاده کردن اقتصاد از منابع تولیدی است. محاسبه‌ی شکاف تولید مستلزم محاسبه‌ی تولید بالقوه‌ی اقتصاد است. مفهوم تولید بالقوه عبارت است از حداکثر میزان تولید کالا و خدماتی که اقتصاد بدون وجود هیچ فشار تورمی و ضد تورمی، قادر به تولید آن است.

آرتور اوکان در سال ۱۹۶۲ واژه‌ی تولید بالقوه را برای اولین بار مصطلح ساخت، که از نظر او تولید بالقوه به سطحی از تولید در اشتغال کامل و بدون فشارهای تورمی اطلاق می‌شود. از دیدگاه اوکان در یک اقتصاد بازاری تولید بالقوه ضرورتاً به مفهوم نرخ بی‌کاری بزرگ‌تر از صفر است. از این رو است که این تحلیل مستلزم نرخ بیکاری طبیعی تعادلی است که امروزه به «نرخ بیکاری بدون تورم شتابان (NAIRU)^۱» مشهور است.

مفهوم تولید پایدار، سطحی از تولید است که عاری از فشارهای تورمی و ضد تورمی است. این مفهوم از «تولید بالقوه»، از «نرخ بیکاری بدون تورم شتابان (NAIRU)» در پژوهش‌های اقتصادی قدیمی تر است. بیش از یک قرن قبل ویکسل در سال ۱۸۹۸ در تحلیل نرخ بهره طبیعی از نسبت تولید به سطح تولید طبیعی به عنوان یک متغیر مهم که بر سطح قیمت مؤثر بوده یاد کرده است. گرچه ویکسل از واژه‌ی «تولید بالقوه» استفاده نکرده، از واژه‌ی «سطح تولید طبیعی» بهره جسته که به طور ضمنی همان مفهوم تولید بالقوه است. امروزه در اکثر کشورهای پیشرفته‌ی صنعتی از شکاف تولید به عنوان یک شاخص پیشرو برای پیش‌بینی تورم و هم‌چنین به عنوان یک متغیر مرتبط با سیاست‌های مالی، چون کسری بودجه‌ی ساختاری استفاده می‌شود.

1- Non-Accelerating Inflation Rate of Unemployment (NAIRU)

تخمین تولید بالقوه و شکاف تولید با تأکید بر رهیافت های ... ۱۴۵

به طور کلی دو روش اساسی برای تخمین تولید بالقوه و شکاف تولید وجود دارد «روش های روند زدایی آماری» و «تخمین روابط ساختاری». رهیافت نخست تلاش می کند که سری زمانی مورد نظر را به عناصر دائمی و نوسانی تجزیه کند این رهیافت می کوشد اثرات ساختاری و تأثیرات نوسانی را بر تولید مورد ارزیابی قرار دهد. رهیافت دوم مبتنی بر تئوری اقتصادی است و این در حالی است که رهیافت نخست یک روش آماری صرف است. این مقاله به بررسی روش های تخمین تولید بالقوه و شکاف تولید برای اقتصاد ایران با استفاده از رهیافت اول می پردازد. این روش به رهیافت های گروه دوم شامل روش های تابع تولید، روند بین اوج های تعدیل شده^۱ روش نسبت تولید به سرمایه، روش اکون، روش روند واقعی، روش تقاضای معکوس عوامل تولید و خط روند بین اوج ها که در هژبر کیانی و بغذیان (۱۳۷۶) آمده است، نمی پردازد. بنابراین مجموعه روش های آماری بحث شده در این مقاله شامل رهیافت های نخست است، که عبارتند از:

- فیلتر هدریک – پرسکات^۲
- تجزیه ای بوریج – نلسن^۳ (تک متغیره و چند متغیره)
- باند – پس فیلتر (فیلتر باکستر و کینگ^۴ - فیلتر کریستیانو و فیتزجرالد^۵)
- الگوی عناصر غیر قابل مشاهده (الگوی فضای حالت و فیلتر کالمن^۶)
- فیلتر روتمنبرگ^۷

۲- بررسی اجمالی مطالعات گذشته در ایران و سایر کشورها

تحقیقات تجربی اندکی در خصوص تخمین تولید بالقوه و شکاف تولید در ایران صورت گرفته است. برخی از این تحقیقات گرچه تولید بالقوه یا شکاف تولید را برای اقتصاد ایران محاسبه کرده اند، هدف بررسی این مطالعات تولید بالقوه و شکاف تولید نبوده است. به عنوان مثال می توان به هژبر کیانی و بغذیان (۱۳۷۶) اشاره کرد که

1 - Modified Trend Trough Peaks

2 - Hodrick – Prescott Filter (HPF)

3 - Univariate Beveridge – Nelson Decomposition

4- Baxter & King Filter (BKF)

5- Christiano & Fitzgerald Filter (CFF)

6- Unobserved Component Models (State – Space Models and Kalman Filter).

7 - Rotemberg Filter

هدف مقاله برآورد موجودی سرمایه بخش‌های مختلف اقتصاد ایران بوده است؛ یا می‌توان به مقاله‌ی خالصی و صیامی نمینی (۱۳۸۱) اشاره کرد که هدف برآورد نرخ بیکاری همراه با تورم غیر شتابان و تولید بالقوه است. این مطالعات در تقسیم‌بندی فوق جزء مطالعات دسته‌ی دوم هستند. رضا نصر اصفهانی، اکبری و بیدرام (۱۳۸۴) نیز در مقاله‌ای به محاسبه‌ی شکاف تولید پرداخته‌اند. در این مقاله هدف بررسی تأثیر عوامل اسمی اقتصادی بر شکاف تولید است. لیکن نوآوری مقاله‌ی حاضر در تنوع تکنیک‌های تخمين تولید بالقوه و شکاف تولید و مقایسه‌ی نتایج به دست آمده از روش‌های مختلف است.

مطالعات بسیار زیادی در زمینه‌ی محاسبه‌ی تولید بالقوه و شکاف تولید برای سایر کشورها صورت پذیرفته است که از این میان می‌توان مطالعه‌ی آرتاس^۱ (۱۹۹۷) برای کشورهای صنعتی، بارل و سفتون^۲ (۱۹۹۵) برای فرانسه و آلمان، آدامز، فنتون و لارسن^۳ (۱۹۸۷) برای کشورهای صنعتی، کو و کروگر^۴ (۱۹۹۰) برای کشورهای آسیای آسیای جنوب شرقی، شامل هنگ کنگ، سنگاپور، تایوان، مالزی، اندونزی و تایلند، گاوریلنکوف و کوئن^۵ (۱۹۹۵) برای کشورهای در حال گذار به سیستم بازار، IMF (۱۹۹۷) برای هفت کشور صنعتی شامل امریکا، کانادا، فرانسه، آلمان، ایتالیا، ژاپن، و پادشاهی بریتانیا را نام برد.

چون تولید بالقوه همان روند و شکاف تولید نسبت عناصر دورانی (سیکلی)^۶ به روند روند است، تعریف روند و تخمين آن به بروز سؤالاتی در حوزه‌ی نظری و تجربی منجر شده است. این موضوع نیز سبب شده تا روش‌های متنوعی از رهیافت‌های فیلترینگ ارائه شود. در اینجا لازم است که اشاره شود منظور از شکاف تولید عبارت است از:

$$\text{شکاف تولید} = \left(\frac{y_t - \tau_t}{\tau_t} \right) \times 100$$

که در آن y_t = تولید بالفعل و τ_t = تولید بالقوه (روند) است.

1- Artus

2- Barrell and Sefton

3- Adams , fenton & Larsen

4- Coe & Krueger

5- Gavrilenkov & Koen

6-Cyclical Components

تخمین تولید بالقوه و شکاف تولید با تأکید بر رهیافت های ... ۱۴۷

۳- رهیافت های تخمین تولید بالقوه و شکاف تولید

در ذیل به اجمال روش های تخمین تولید بالقوه و شکاف تولید با توجه به رهیافت های فیلترینگ سری های زمانی ارائه خواهد شد.

۳-۱- فیلتر هدریک - پرسکات^۱ (HPF)

فیلتر هدریک-پرسکات روند زمانی غیر قابل مشاهده را برای متغیر سری زمانی ارائه کرده است. این فیلتر ابتدا برای تجزیه و تحلیل ادوار تجاری در سال ۱۹۸۰ ارائه شده، ولی در سال ۱۹۹۷ این فیلتر پس از ۱۷ سال تأخیر به انتشار در آمد. فرض کنید که یک سری زمانی قابل مشاهده (y_t) دلالت بر تولید حقیقی داشته باشد. فیلتر هدریک - پرسکات (y_t) را به یک روند زمانی (τ_t) و یک سری زمانی از عناصر دورانی پایا^۲ تجزیه می کند، به طوری که:

$$y_t = \tau_t + c_t$$

توجه شود که هم τ_t و هم c_t غیر قابل مشاهده هستند و از آن جایی که c_t یک فرآیند^۲ پایا است، می توان چنین در نظر گرفت که y_t از حاصل جمع τ_t با یک سری اغتشاش مانند c_t به دست می آید. از این رو مسئله‌ی اصلی استخراج τ_t از y_t است.

فیلتر هدریک - پرسکات این مسئله را با اختصاص دادن اوزان مناسب برای سیگنال در مقابل روند خطی حل می کند. اجازه دهید که λ بر وزن دلالت داشته باشد. اگر $\lambda = 0$ باشد، آن گاه $c_t = 0$ است و در این صورت $y_t = \tau_t$ می گردد. اگر فرض کنیم که λ بسیار بزرگ بوده به طوری که $\lambda \rightarrow \infty$ ، در این وضعیت τ_t به تخمین روش حداقل مربعات نزدیک می شود.

صورت مسئله در طراحی فیلتر هدریک - پرسکات عبارت است از:

$$\underset{\{\tau_t\}_{t=1}^T}{\text{Min}} : \sum_{t=1}^T (y_t - \tau_t)^2 + \lambda \sum_{t=2}^{T-1} [(\tau_{t+1} - \tau_t) - (\tau_t - \tau_{t-1})]^2$$

1 -Stationary

2 -Process

نقطه‌ی قوت این فیلتر انعطاف‌پذیری آن و ضعف آن حساسیت نتایج نسبت به ضریب λ است. برای بحث دقیق‌تر در این خصوص هاروی و جایگر (۱۹۹۳) را ببینید.

۲-۳- تجزیه‌ی تک متغیره‌ی بوریج - نلسن^۱

بوریج و نلسن (۱۹۸۱) یک روش تجزیه برای سری‌های زمانی حقیقی به عناصر دائمی و گذرا ارائه کردند. در زیر روش بوریج - نلسن را برای حالت تک متغیره تشریح می‌کنیم.

یک الگوی $ARIMA(p,1,q)$ ^۱ را در نظر بگیرید. تفاضل مرتبه‌ی اول هر فرایند تصادفی را می‌توان به صورت یک نمایش میانگین متحرک با بی‌نهایت جمله نوشت:

$$\Delta y_t = y_t - y_{t-1} = a_0 + \varepsilon_t + \beta_1 \cdot \varepsilon_{t-1} + \beta_2 \cdot \varepsilon_{t-2} + \dots$$

اگر معادل $\dots + \beta_1 \cdot \varepsilon_{t-1} + \beta_2 \cdot \varepsilon_{t-2} + \dots$ نمایش دهیم، بنابراین می‌توان y_{t+s} را به صورت ذیل نوشت.

$$y_{t+s} = y_t + a_0 \cdot s + \sum_{i=1}^s e_{t-i}$$

گام بعدی بیان دنباله‌ی (ε_t) بر حسب مقادیر متفاوت دنباله‌ی (ε_i) است. در حالت عمومی می‌توان چنین نوشت:

$$\sum_{i=1}^s e_{t+i} = \sum_{i=1}^s \varepsilon_{t+i} + \beta_1 \cdot \sum_{i=2}^s \varepsilon_{t-1+i} + \beta_2 \cdot \sum_{i=1}^s \varepsilon_{t-2+i} + \beta_3 \cdot \sum_{i=1}^s \varepsilon_{t-3+i} + \dots$$

از آن جایی که $E_t(\varepsilon_{t+i}) = 0$ است،تابع پیش‌بینی را می‌توان به صورت ذیل در

نظر گرفت:

$$E_t(y_{t+s}) = y_t + a_0 \cdot s + \left(\sum_{i=1}^s \beta_i \right) \varepsilon_t + \left(\sum_{i=2}^{s+1} \beta_i \right) \varepsilon_{t-1} + \left(\sum_{i=3}^{s+2} \beta_i \right) \varepsilon_{t-2} + \dots$$

حال برای یافتن روند تصادفی، مقادیر حدی پیش‌بینی $(E_t(y_{t+s} - a_0 \cdot s))$ برای

مقادیر بسیار بزرگ s عبارت است از:

$$y_t + a_0 \cdot s + \left(\sum_{i=1}^{\infty} \beta_i \right) \varepsilon_t + \left(\sum_{i=2}^{\infty} \beta_i \right) \varepsilon_{t-1} + \left(\sum_{i=3}^{\infty} \beta_i \right) \varepsilon_{t-2} + \dots$$

کلید عملیات تجزیه‌ی بوریج - نلسن تشخیص این است که می‌توان y_{t+s} را

چنین نوشت:

$$y_{t+s} = \Delta y_{t+s} + \Delta y_{t+s-1} + \Delta y_{t+s-2} + \dots + \Delta y_{t+1} + y_t$$

تخمین تولید بالقوه و شکاف تولید با تأکید بر رهیافت های ... ۱۴۹

این رابطه بیان می دارد که روند را می توان به صورت مقدار جاری y_t به علاوه مجموع تمامی تغییرات در پیش بینی در دنباله نوشت. به استثناء $a_0.s$ ، بخش تصادفی روند عبارت است از:

$$\lim_{s \rightarrow \infty} E_t \{ (y_{t+s} - y_{t+s-1}) + (y_{t+s-1} - y_{t+s-2}) + \dots + (y_{t+2} - y_{t+1}) + (y_{t+1} - y_t) \} + y_t$$

$$\lim_{s \rightarrow \infty} E_t (\Delta y_{t+s} + \Delta y_{t+s-1} + \dots + \Delta y_{t+1}) + y_t$$

ویژگی مهم رابطه‌ی اخیر در روش باکس-جنکینز این است که امکان محاسبه‌ی (Δy_{t+s}) را می دهد. برای هر مشاهده در مجموعه‌ی مورد بررسی می توان پیش بینی یک دوره‌ی آتی، دو دوره‌ی آتی، ... و s دوره‌ی آتی را محاسبه کرد. عناصر دورانی نیز عبارت است از:

$$y_t - \lim_{s \rightarrow \infty} (E_t y_{t+s} + a_0.s) = - \lim_{s \rightarrow \infty} E_t (\Delta y_{t+s} + \Delta y_{t+s-1} + \dots + \Delta y_{t+2} + \Delta y_{t+1}) - a_0.s$$

معمولًا در روش بوریج-نلسن s مقداری اختیاری است. در مقاله‌ی بوریج و نلسن مقدار $s=100$ در نظر گرفته شده است. نقطه‌ی ضعف رهیافت بوریج-نلسن این است که از این رهیافت فقط می توان برای سری‌های زمانی جمع بسته از مرتبه‌ی یک (I)¹ استفاده کرد. نکته‌ی مهم این روش، توانایی بالای آن در تشریح نوسانات اعوجاج² گونه در سری زمانی است.

۳-۳- تجزیه‌ی چند متغیره بوریج - نلسن

تجزیه‌ی بوریج - نلسن ابتدا توسط بوریج و نلسن (1981) برای حالت تک متغیره گسترش یافت، و سپس توسط استاک و واتسن (1987) برای حالت k متغیره به کار گرفته شد. در این رهیافت سری‌های زمانی اقتصادی به صورت مجموع عناصر روند و عناصر دورانی غیر قابل مشاهده در می آیند.

1- Integrated of Order One , I(1)
2- Volatility

فرض کنید که y_t بر یک بردار n بعدی از متغیرهای $I(1)$ دلالت داشته باشد. در این صورت می‌توان تفاضل مرتبه‌ی اول این بردار را به صورت نمایش والد (*Wald*) نشان داد:

$$\Delta y_t = C(L)u_t$$

در این حالت $C(L)$ بر یک ماتریس چند جمله‌ای با خواص $\sum_{j=1}^{\infty} j|C_j| < \infty$ و $C(0) = I_n$ دلالت دارد و u_t نیز یک نویه‌ی سفید چند متغیره است. با تعریف $C^*(L) = (1 - L)^{-1}(C(L) - C(1))^5$ این فرآیند را می‌توان به صورت ذیل بازنویسی کرد.

$$\Delta y_t = C(1)u_t + \Delta C^*(L)u_t$$

با انتگرال گیری (در حالت گسسته محاسبه‌ی مجموع) از طرفین می‌توان عناصر دورانی و روند را به دست آورد:

$$y_t = C(1) \sum_{s=0}^{\infty} u_{t-s} + C^*(L)u_t$$

$$y_t = \tau_t + c_t$$

در تجزیه‌ی بوریج و نلسن سری روند زمانی، حد پیش‌بینی سری زمانی در دامنه‌ای نامتناهی است. برای محاسبه‌ی تجزیه‌ی بوریج-نلسن ابتدا باید بردار هم جمع بستگی^۳ متناظر با بردار y_t را توسط رهیافتی نظریه جوهانسن و جوسیلیوس (۱۹۹۵) مورد تخمین قرار داد، در نهایت لازم است که بردار مکانسیم تصحیح خطای محاسبه کرد.

۴-۳- باند-پس فیلتر^۱

در این بخش دو نوع باند-پس فیلتر با اسمی «فیلتر باکستر و کینگ» و «کریستیانو و فیتزجرالد» به اختصار مورد ارزیابی قرار می‌گیرد. باند-پس فیلتر یک فیلتر خطی متقارن است، به طوری که می‌توان یک سری زمانی y_t را به صورت یک سری زمانی دیگر مانند x_t تبدیل کرد، پس داریم:

$$x_t = \sum_{j=-\infty}^{\infty} \psi_j \cdot y_{t-j} = \psi(L)y_t$$

که در این رابطه $\psi(L) = \sum_{-\infty}^{\infty} \psi_j L^j$ است، که در آن L عملگر وقفه است. به طوری که $y_t = y_{t-j} L^j$. برای ساختن فیلتری که روند معین و عناصر دورانی تصادفی را تجزیه می کند، بایستی دو قید را بر (L) اعمال کرد. اول آن که مجموع اوزان فیلتر صفر است:

$$\sum_{-\infty}^{\infty} \psi_j = 0$$

و دوم این که فیلتر بایستی متقارن باشد، به طوری که داشته باشیم:

$\psi_j = \psi_{-j}$

برای ساختن یک باند-پس فیلتر بایستی متداول‌تری تحلیل طیفی^۱ را به کار گرفت؛ از این رو فرض می شود که یک سری زمانی را می توان به صورت دو جزء تقسیم کرد. عناصر با فرکانس بالا که همان عناصر دورانی را تشکیل می دهد و عناصر با فرکانس پایین که روند معین یک سری زمانی را تشکیل می دهد. قاعدهاً هر سری زمانی را می توان به صورت یک معادلهٔ تصادفی نوشت. بر اساس قضیهٔ فوريه^۲ هر تابع مشخصی را می توان به صورت مجموعی نهایت توابع مثلثاتی سینوسی و کسینوسی نوشت:

$$f(\omega) = \sum_{j=0}^{\infty} (\alpha_j \cos(\omega j) + \beta_j \sin(\omega j))$$

که $\omega = \frac{2\pi}{T}$ است. بر اساس رابطهٔ اولر (Euler) داریم:

$$e^{\pm i\omega} = \cos(\omega) + i \sin(\omega)$$

که $i = \sqrt{-1}$ است. پس می توان معادلهٔ فوريه را چنین نوشت:

$$f(\omega) = \sum_0^{\infty} \frac{1}{2} (\alpha_j - i\beta_j) e^{i\omega j} + \sum_{j=-\infty}^0 \frac{1}{2} (\alpha_{-j} + i\beta_{-j}) e^{-i\omega j}$$

در این فرمول بندی ضرایب مختلط عبارت است از:

$$\psi_j = \begin{cases} \frac{1}{2}(\alpha_j - i\beta_j) & j > 0 \text{ for} \\ \frac{1}{2}(\alpha_{-j} + i\beta_{-j}) & j < 0 \text{ for} \end{cases}$$

چون معادله‌ی فوریه به شکل ذیل است:

$$f(\omega) = \sum_{j=-\infty}^{\infty} \psi_j e^{i\omega j}$$

از این رو می‌توان باند-پس فیلتر را چنین در نظر گرفت:

$$\psi(L) = \sum_{j=-\infty}^{\infty} \psi_j \cdot L^j$$

تابع پاسخ فرکانس برای این فیلتر چنین است:

$$\psi(e^{i\omega}) = \sum_{j=-\infty}^{\infty} \psi_j e^{i\omega j}$$

که

$$\psi_j = \begin{cases} \frac{1}{2}(\alpha_j - i\beta_j) & \text{for } j \neq 0 \\ (\alpha_0) & \text{for } j = 0 \end{cases}$$

به طور کلی دو نوع تقریب از باند-پس فیلتر وجود دارد. «فیلتر باکستر و کینگ» و «فیلتر کریستیانو و فیتزجرالد» که تفاوت این دو فیلتر در تعیین اوزان چند جمله‌ای (L) است. به طوری که در فیلتر باکستر و کینگ برای تعیین این اوزان رابطه‌ی ذیر حداقل می‌شود:

$$Q = \int_{-\pi}^{\pi} |\psi(e^{i\omega}) - \alpha(e^{i\omega})|^2 d\omega$$

ولی در تقریب کریستیانو و فیتز جرالد کینگ برای تعیین این اوزان رابطه‌ی زیر به حداقل می‌رسد:

$$Q = \int_{-\pi}^{\pi} |\psi(e^{i\omega}) - \beta(e^{i\omega})|^2 f(y) d\omega$$

یکی از نقاط ضعف این روش در حساس بودن نتایج نسبت به تعداد مشاهدات است. در ضمن محاسبه‌ی باند-پس فیلتر به از دست دادن تعدادی از مشاهدات ابتدایی و انتهایی می‌انجامد.

۳-۵- الگوی عناصر غیر قابل مشاهده (الگوی فضای حالت و فیلتر کالمون)
نمایش فضای حالت به طور عمومی برای تولید واقعی به عنوان یک فرآیند تصادفی پایا به صورت ذیل است:

$$\begin{aligned}y_t &= \tau_t + c_t \\ \tau_t &= \theta_0 + \theta(L)\tau_{t-1} + \varepsilon_t \\ c_t &= \phi_0 + \phi(L)c_{t-1} + \eta_t \\ \varepsilon_t &\sim i.i.d.N(0, \sigma_\varepsilon^2) \\ \eta_t &\sim i.i.d.N(0, \sigma_\eta^2)\end{aligned}$$

که $\theta(L), \phi(L)$ به ترتیب چند جمله‌ای هایی هستند که باید مراتب آن مشخص شود. به عنوان مثال برای یک وضعیتی که، از یک فرآیند $AR(1)$ و c_t از یک فرایند $AR(2)$ تبعیت کند، آن گاه در فرم فضای حالت داریم:

$$\begin{aligned}y_t &= [1 \quad 1 \quad 0] \begin{bmatrix} \tau_t \\ c_t \\ c_{t-1} \end{bmatrix} \\ \begin{bmatrix} \tau_t \\ c_t \\ c_{t-1} \end{bmatrix} &= \begin{bmatrix} \theta_0 \\ \phi_0 \\ 0 \end{bmatrix} + \begin{bmatrix} \theta_1 & 0 & 0 \\ 0 & \phi_1 & \phi_2 \\ 0 & 1 & 1 \end{bmatrix} \begin{bmatrix} \tau_{t-1} \\ c_{t-1} \\ c_{t-2} \end{bmatrix} + \begin{bmatrix} \varepsilon_t \\ \eta_t \\ 0 \end{bmatrix}\end{aligned}$$

برای تخمین این دستگاه از معادلات باید از رویه‌ی تخمین عطفی فیلتر کالمون استفاده کرد.

۳-۶- فیلتر روتمنبرگ

روتمبرگ (۱۹۹۸) سعی در معرفی یک فیلتر ناپارامتری مانند فیلتر هدريک-پرسکات دارد. روش ناپارامتری برای به دست آوردن روند تضمین می‌کند که تغییرات کوتاه مدت در نرخ رشد روند (تولید بالقوه) مؤثر نباشد و این اجزای دورانی هستند که

این تحولات را در بر می‌گیرد. روتمبرگ روش خود را نسبت به روش هدریک – پرسکات و رهیافت سیستمی VAR^1 کامل‌تر می‌داند. او معتقد است که برای یک سری زمانی خاص ولی با در نظر داشتن نمونه‌های متفاوت از آن سری، روش هدریک – پرسکات برای روند زمانی نتایج متفاوتی را ارائه می‌کند و در رهیافت VAR (مانند روش چند متغیره‌ی نلسن-بوریچ) علاوه بر این که خود سری مورد بحث را بایستی وارد مدل کرد نیاز به وارد ساختن حداقل یک سری زمانی دیگر هست تا بتوان روش سیستمی VAR را اعمال کرد. در ضمن عملکرد فیلترینگ روش VAR برای تعیین روند برای متغیرهای $I(0)$ ضعیف است، این را روتمبرگ با ایجاد شبیه سازی داده‌های مصنوعی نشان می‌دهد.

در روش روتمبرگ، فرض کنید که می‌خواهیم یک سری زمانی y_t را با T مشاهده به روند τ_t و اجزای دورانی c_t تجزیه کنیم. برای این منظور او روند τ_t را از حداقل سازی رابطه‌ی ذیل به دست می‌آورد:

$$\sum_{t=0}^{T-1} [(\tau_t - \tau_{t-1}) - (\tau_{t-1} - \tau_{t-2})]^2 + \left(\frac{1}{\lambda}\right) \sum_{t=k+1}^T [(y_t - \tau_t)(y_{t-k} - \tau_{t-k})] \text{ Min: } (1)$$

که پارامتر λ را بایستی به گونه‌ای انتخاب کرد که شرط ذیل صدق کند:

$$\sum_{t=k+v}^{T-k-v} (y_t - \tau_t)[(\tau_{t+v} - \tau_t)(\tau_t - \tau_{t-v})] = 0 \quad (2)$$

این روابه مستلزم انتخاب دو ثابت k, v است. در شرایطی که $k=0$ و $v=1600-\lambda$ باشد نتایج به دست آمده از فیلتر روتبرگ با نتایج فیلتر هدریک – پرسکات برای داده‌های فصلی یکسان است.

۴ - برآوردهای تولید بالقوه و شکاف تولید

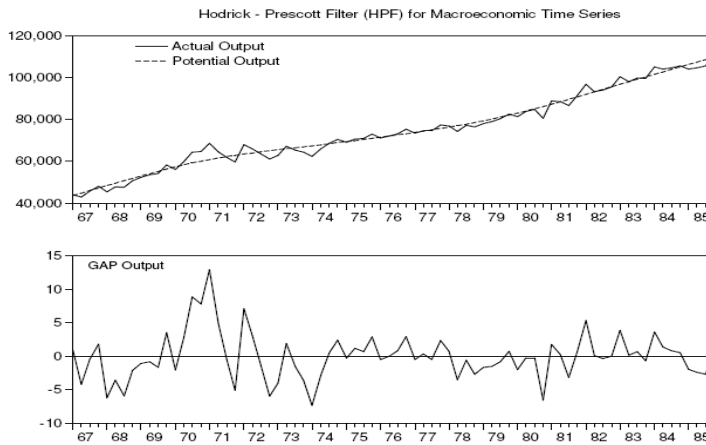
برای به دست آوردن تخمین‌های تجربی تولید بالقوه و شکاف تولید از داده‌های تولید ناخالص داخلی فصلی به قیمت ثابت ($1376=100$) در طی دوره‌ی (۱۳۶۷:۱) – (۱۳۸۶:۴) استفاده شده است. منابع داده‌ها بانک مرکزی جمهوری اسلامی ایران است.

تخمین تولید بالقوه و شکاف تولید با تأکید بر رهیافت های ... ۱۵۵

۴-۱- فیلتر هدیریک - پرسکات

نتایج اجرای فیلتر هدیریک-پرسکات برای داده های تولید ناخالص داخلی فصلی در نمودار شماره ۱ یک به نمایش گذاشته شده است. محاسبات این بخش توسط نرم افزار *EViews* صورت گرفته است.

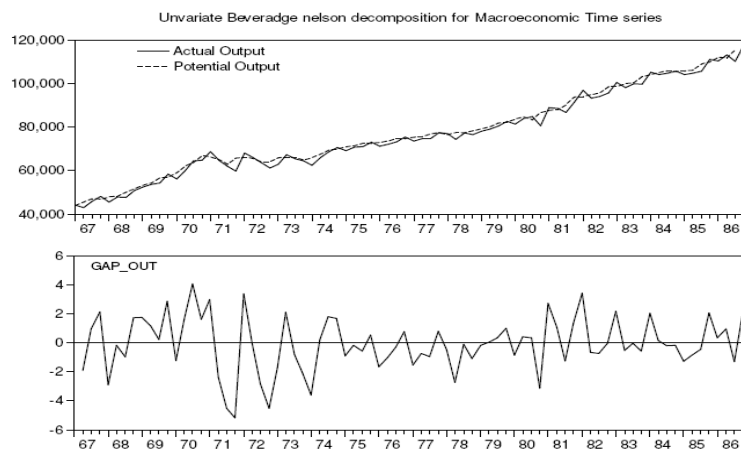
نمودار شماره ۱ یک - نتایج اجرای فیلتر هدیریک-پرسکات برای داده های تولید ناخالص داخلی فصلی



۴-۲- تجزیه ی تک متغیره ی بوریج - نلسن

نتایج اجرای تجزیه ی تک متغیره بوریج - نلسن برای داده های تولید ناخالص داخلی فصلی در نمودار شماره ۱ دو به نمایش گذاشته شده است.

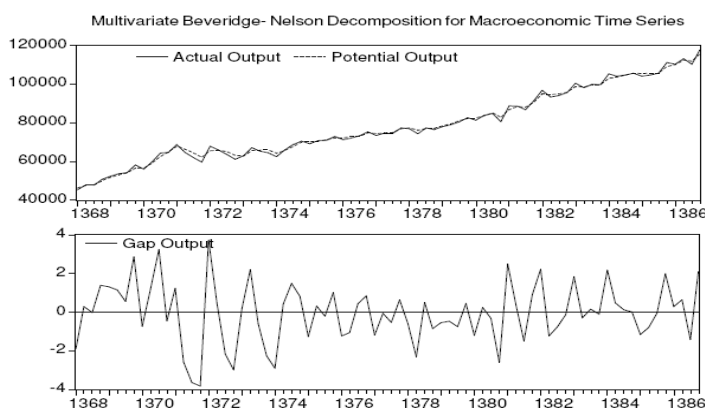
نمودار شماره‌ی دو - نتایج تجزیه‌ی تک متغیره‌ی بوریج- نلسن برای تولید ناخالص داخلی فصلی



محاسبات این بخش توسط برنامه نویسی در نرم افزار S-Plus صورت گرفته است.

۴-۳- تجزیه‌ی چند متغیره‌ی بوریج- نلسن

نتایج اجرای تجزیه‌ی چند متغیره‌ی بوریج- نلسن برای داده‌های تولید ناخالص
داخلی فصلی در نمودار شماره‌ی سه به نمایش گذاشته شده است.
نمودار شماره‌ی سه - نتایج تجزیه‌ی چند متغیره‌ی بوریج- نلسن برای تولید
ناخالص داخلی فصلی

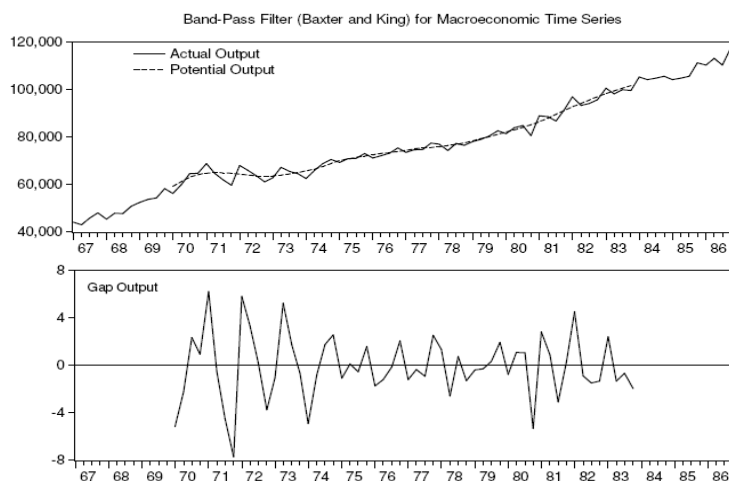


چون باید یک بردار هم جمع بستگی برای فیلترینگ وارد الگوی هم جمع بستگی مبتنی بر روش حداکثر راست نمایی جوهانسن - جوسیلیوس شود، همان طوری که متداول است و در سایر مطالعات صورت گرفته است، سری زمانی فصلی مصرف بخش خصوص به قیمت ثابت سال ۱۳۷۶ به همراه تولید ناخالص داخلی وارد مدل VAR هم جمع بستگی شده است. محاسبات این بخش با برنامه نویسی در نرم افزار EViews صورت گرفته است.

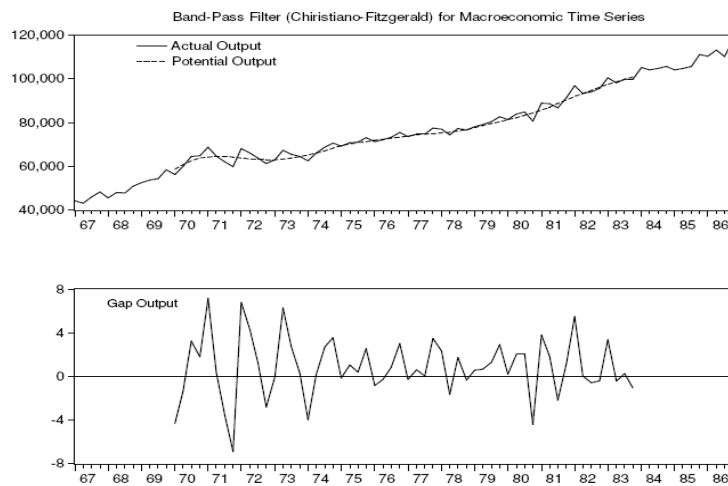
۴-۴- باند- پس فیلتر

نتایج اجرای دو نوع باند- پس فیلتر تحت عنوانین «فیلتر باکستر و کینگ» و «کریستیانو و فیتزجرالد» برای داده های تولید ناخالص داخلی فصلی در نمودارهای شماره چهار و پنج به نمایش گذاشته شده است. محاسبات این بخش توسط نرم افزار EViews (نسخه ۵/۱) صورت گرفته است. همان طوری که از نمودارهای شماره ۵ چهار و پنج پیدا است تعدادی از مشاهدات ابتدایی و انتهایی نمونه به علت ماهیت شیوه ای فیلترینگ، حذف شده اند.

نمودار شماره ۵ - نتایج اجرای فیلتر باکستر و کینگ برای داده های تولید ناخالص داخلی فصلی



نمودار شماره ۱ پنج - نتایج اجرای فیلتر کریستیانو و فیتزجرالد برای داده های تولید ناخالص داخلی فصلی



۴-۵- الگوی عناصر غیر قابل مشاهده (الگوی فضای حالت و فیلتر کالمن)
 نتایج اجرای الگوی فضای- حالت و فیلتر کالمن برای داده های تولید ناخالص داخلی فصلی در نمودار شماره ۱۳ به نمایش گذاشته شده است. برای این منظور ابتدا براساس آزمون تعییم یافته هی دیکی و فولر^۱ (*ADF*) نشان داده شده که سری زمانی تولید ناخالص داخلی جمع بسته از مرتبه $I(1)$ بوده و دارای ریشه واحد است.

جدول شماره ۱- آزمون ریشه واحد دیکی- فولر تعییم یافته برای GDP

(با وجود عرض از مبدأ و جمله هی ثابت)	مقادیر بحرانی <i>ADF</i>	آماره هی <i>T</i> محاسباتی
مقدار بحرانی آماره هی <i>ADF</i> در سطح ۱ درصد	-۴/۰۸۳۳۵۵	-۰/۷۲۴۶۹۵
مقدار بحرانی آماره هی <i>ADF</i> در سطح ۵ درصد	-۳/۴۷۰۰۳۲	
مقدار بحرانی آماره هی <i>ADF</i> در سطح ۱۰ درصد	-۳/۱۶۱۹۸۲	

۱-Augmented Dickey-Fuller Test

تخمین تولید بالقوه و شکاف تولید با تأکید بر رهیافت های ... ۱۵۹

با توجه به نتایج آزمون ریش d واحد فوق، برای برقراری شرط پایایی بایستی یک بار از سری زمانی تولید ناخالص داخلی تفاضل گیری کنیم، حال با استفاده از معیارهای اطلاعاتی آکاییک (AIC) و شوارتز بیزین (SBC) برای سری زمانی تفاضل مرتبه ی اول تولید ناخالص داخلی نوع ساختار الگوی $ARMA(p, q)$ را مشخص می کنیم.

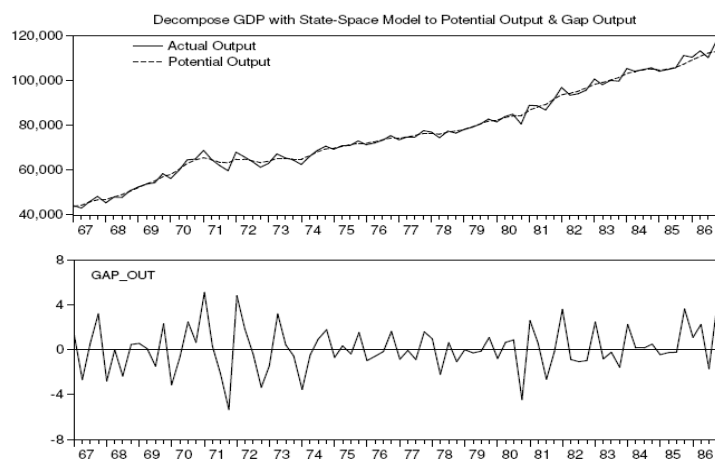
**جدول شماره ی دو - گزینش تصريح مناسب الگوی $ARMA$ برای تفاضل
مرتبه ی اول تولید ناخالص داخلی**

الگوی $ARMA$	AR(1)	AR(2)	AR(3)	AR(4)	MA(1)	MA(2)	AIC	SBC
۱	*						18.73895	18.77082
۲					*		18.72242	18.73501
۳	*				*		18.76357	18.82731
۴	*	*					18.76145	18.82569
۵	*	*			*		18.78731	18.88367
۶	*	*			*	*	18.60950	18.73798
۷	*	*	*				18.79182	18.88896
۸		*	*				18.80216	18.86692
۹			*	*			18.72653	18.79181

بر اساس جدول شماره ی دو و بر مبنای معیارهای اطلاعاتی آکاییک (AIC) و شوارتز بیزین (SBC) و ملاک هنان و کوبین (HQ) مناسب ترین مدل، الگوی شماره ی هشت است. پس این الگو را که صرفاً دارای جملات AR(2) و AR(3) به همراه عرض از مبدأ است وارد فرم فضای- حالت کرده، با بهره گیری از نرم افزار STAMP¹ تخمین زده ایم. آماره های آزمون دلالت بر معنادار بودن ضرایب دارد.

نمودار شماره‌ی شش نتایج اجرای الگوی فضای- حالت و فیلتر کالمون برای داده‌های تولید ناخالص داخلی فصلی را به همراه اجزای تولید بالقوه و شکاف تولید را نشان می‌دهد.

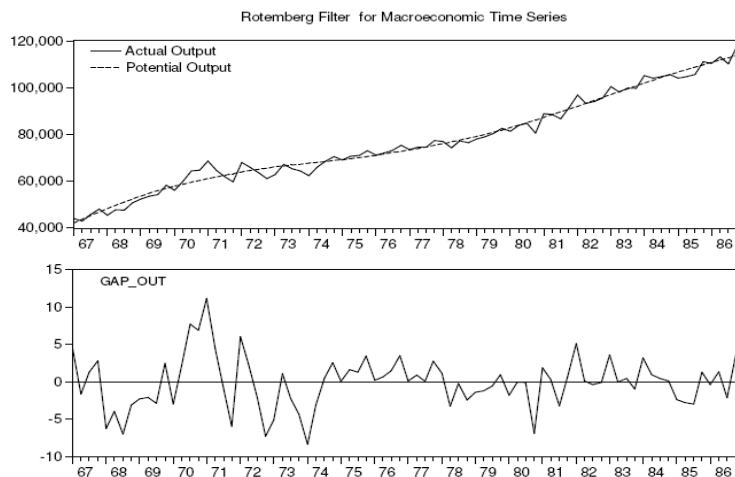
نمودار شماره‌ی شش- نتایج اجرای الگوی فضای- حالت و فیلتر کالمون برای داده‌های تولید ناخالص داخلی فصلی



۶-۴- فیلتر روتمنبرگ

با در نظر گرفتن $k = 6$ و $\nu = 2$ برای داده‌های فصلی ایران و با بهره گیری از نرم افزار MATLAB مطابق نمودار شماره‌ی هفت تولید بالقوه و شکاف تولید را محاسبه کرده ایم. نتایج برای داده‌های فصلی ایران پس از ۵۰ بار تکرار همگرا شده و مقدار بهینه‌ی $\lambda = 296.5056$ است. لازم به ذکر است که اشاره کنیم، دلیل گزینش $k = 6$ و $\nu = 2$ ، کوچک شدن ملاک RMSE است.

نمودار شماره ی هفت - نتایج اجرای فیلتر روتمنبرگ برای داده های تولید ناخالص
داخلی فصلی



۵- خلاصه و جمع بندی

در این مقاله ۷ نوع رهیافت متفاوت فیلترینگ به طور اجمالی معرفی و برای محاسبه ی تولید بالقوه و شکاف تولید در اقتصاد ایران مورد استفاده قرار گرفت. جدول شماره ی سه شکاف تولید را برای فیلترهای متفاوت نشان می دهد.

جدول شماره ی سه - شکاف تولید محاسبه شده توسط رهیافت های مختلف فیلترینگ

نمره	شکاف تولید به دست آمده از رهیافت های فیلترینگ های مختلف (بر حسب درصدی از تولید ناخالص داخلی)						
	دیرینگ سکان	دیرینگ نگاه مغذیه	دیرینگ نگاه مغذیه	پیشگویی	گرینینگ	فناوری	دینزینگ
1367Q1	0.889					1.300	4.345
1367Q2	-4.246	-1.920				-2.660	-1.706
1367Q3	-0.536	0.962				0.596	1.257
1367Q4	1.772	2.140				3.214	2.754
1368Q1	-6.252	-2.898	-1.890			-2.805	-6.287

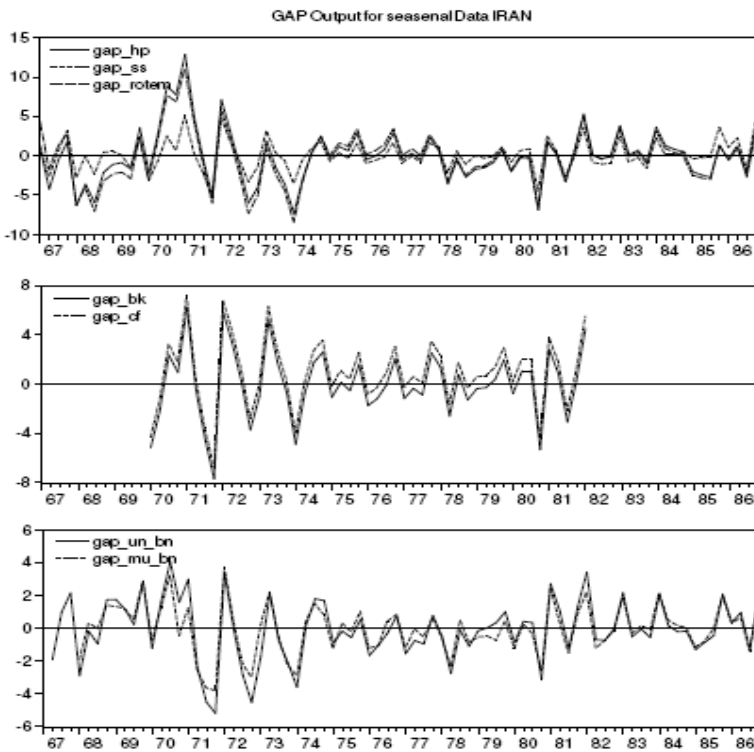
1368Q2	-3.623	-0.182	0.285			-0.001	-3.980
1368Q3	-5.939	-0.965	-0.014			-2.352	-7.021
1368Q4	-2.116	1.729	1.397			0.468	-3.173
1369Q1	-1.118	1.757	1.324			0.576	-2.326
1369Q2	-0.857	1.167	1.158			0.093	-2.117
1369Q3	-1.686	0.227	0.563			-1.464	-2.919
1369Q4	3.528	2.860	2.861			2.315	2.403
1370Q1	-2.081	-1.240	-0.725	-5.195	-4.341	-3.130	-3.001
1370Q2	2.764	1.634	1.220	-2.213	-1.348	-0.630	2.030
1370Q3	8.868	4.049	3.244	2.349	3.244	2.484	7.662
1370Q4	7.770	1.602	-0.448	0.927	1.804	0.645	6.822
1371Q1	12.907	2.986	1.246	6.236	7.160	5.108	11.108
1371Q2	4.916	-2.384	-2.579	-0.509	0.365	0.325	4.329
1371Q3	-0.449	-4.518	-3.648	-4.479	-3.627	-2.132	-0.894
1371Q4	-5.128	-5.198	-3.824	-7.738	-6.900	-5.340	-5.981
1372Q1	7.081	3.380	3.727	5.811	6.790	4.829	5.996
1372Q2	3.040	-0.014	0.476	3.338	4.312	1.840	2.211
1372Q3	-1.309	-2.834	-2.165	0.225	1.184	-0.450	-2.176
1372Q4	-6.009	-4.540	-2.989	-3.748	-2.816	-3.351	-7.324
1373Q1	-4.043	-1.721	0.195	-1.043	-0.077	-1.450	-5.116
1373Q2	1.864	2.115	2.213	5.259	6.291	3.206	1.031
1373Q3	-1.524	-0.806	-0.595	1.732	2.730	0.435	-2.279
1373Q4	-3.640	-2.125	-2.251	-0.681	0.291	-0.569	-4.381
1374Q1	-7.381	-3.605	-2.894	-4.921	-3.996	-3.540	-8.407
1374Q2	-2.867	0.193	0.430	-0.803	0.153	-0.464	-3.165
1374Q3	0.467	1.805	1.495	1.736	2.707	0.942	0.457
1374Q4	2.393	1.683	0.823	2.577	3.547	1.787	2.511
1375Q1	-0.320	-0.897	-1.253	-1.096	-0.167	-0.687	0.023
1375Q2	1.154	-0.178	0.317	0.118	1.052	0.348	1.614
1375Q3	0.672	-0.579	-0.210	-0.538	0.388	-0.375	1.242
1375Q4	2.859	0.526	1.020	1.592	2.536	1.530	3.397
1376Q1	-0.502	-1.669	-1.229	-1.763	-0.848	-0.966	0.156
1376Q2	-0.029	-1.024	-1.057	-1.200	-0.278	-0.563	0.627
1376Q3	0.806	-0.288	0.443	-0.127	0.806	-0.169	1.437
1376Q4	2.926	0.758	0.853	2.072	3.029	1.627	3.443
1377Q1	-0.492	-1.548	-1.191	-1.198	-0.269	-0.862	0.090
1377Q2	0.330	-0.743	-0.056	-0.350	0.590	-0.062	0.867
1377Q3	-0.493	-0.952	-0.529	-0.917	0.021	-0.870	0.001
1377Q4	2.317	0.778	0.648	2.524	3.499	1.600	2.700
1378Q1	0.713	-0.480	-0.594	1.350	2.318	0.964	1.105
1378Q2	-3.549	-2.749	-2.317	-2.611	-1.676	-2.198	-3.306
1378Q3	-0.593	-0.111	0.506	0.750	1.719	0.614	-0.262
1378Q4	-2.715	-1.096	-0.854	-1.301	-0.350	-1.081	-2.469
1379Q1	-1.706	-0.166	-0.547	-0.402	0.559	0.009	-1.433
1379Q2	-1.523	0.026	-0.468	-0.303	0.657	-0.290	-1.257
1379Q3	-0.865	0.345	-0.741	0.336	1.302	-0.117	-0.603
1379Q4	0.687	1.007	0.446	1.949	2.931	1.111	0.926
1380Q1	-2.019	-0.857	-1.196	-0.779	0.177	-0.776	-1.839
1380Q2	-0.250	0.413	0.243	1.071	2.045	0.651	-0.070

تخمین تولید بالقوه و شکاف تولید با تأکید بر رهیافت های ... ۱۶۳

1380Q3	-0.290	0.347	-0.328	1.060	2.033	0.878	-0.146
1380Q4	-6.570	-3.153	-2.600	-5.347	-4.437	-4.475	-6.912
1381Q1	1.763	2.719	2.502	2.823	3.810	2.613	1.818
1381Q2	0.201	1.082	0.365	0.860	1.823	0.606	0.265
1381Q3	-3.206	-1.267	-1.497	-3.107	-2.186	-2.635	-3.264
1381Q4	0.613	1.352	0.904	0.237	1.184	-0.152	0.640
1382Q1	5.316	3.415	2.219	4.506	5.489	3.612	5.058
1382Q2	0.097	-0.676	-1.235			-0.874	0.080
1382Q3	-0.367	-0.738	-0.758			-1.059	-0.427
1382Q4	-0.006	-0.035	-0.130			-0.967	-0.107
1383Q1	3.834	2.165	1.850			2.482	3.551
1383Q2	0.132	-0.522	-0.297			-0.809	-0.066
1383Q3	0.682	-0.037	0.164			-0.214	0.429
1383Q4	-0.710	-0.580	-0.106			-1.568	-1.016
1384Q1	3.621	2.040	2.172			2.278	3.160
1384Q2	1.331	0.158	0.484			0.161	0.929
1384Q3	0.830	-0.202	0.128			0.147	0.413
1384Q4	0.500	-0.184	0.021			0.489	0.087
1385Q1	-1.991	-1.293	-1.150			-0.432	-2.419
1385Q2	-2.438	-0.862	-0.792			-0.242	-2.818
1385Q3	-2.729	-0.448	-0.048			-0.224	-3.015
1385Q4	1.335	2.065	1.995			3.658	1.258
1386Q1	-0.521	0.349	0.293			1.090	-0.410
1386Q2	0.995	0.950	0.649			2.272	1.289
1386Q3	-2.657	-1.305	-1.415			-1.712	-2.205
1386Q4	2.891	2.195	2.101			4.267	3.505

نتایج به دست آمده نشان می دهد که ۳ رهیافت هدریک - پرسکات ، فضای - حالت و فیلتر کالمون ، فیلتر روتمبرگ نتایج نسبتاً مشابهی را ارائه می کنند (پانل فوچانی نمودار شماره ۹ هشت را ببینید). در ضمن دو رهیافت باکستر-کینگ و رهیافت کریستیانو- فیتزجرالد هم نتایج مشابهی دارند ولی به لحاظ ماهیت شیوه ی فیلترینگ مشاهدات ابتدایی و انتهایی در این روش ها حذف می شوند، (پانل میانی نمودار شماره ۹ هشت را ببینید). تجزیه ی تک متغیره و چند متغیره ی بوریج - نلسن نیز نتایج مشابهی را ارائه می کنند، (پانل پایینی نمودار شماره ۹ هشت را ببینید).

نمودار شماره‌ی هشت - مقایسه‌ی نتایج ۷ روش متفاوت فیلترینگ



در هر پیش‌بینی، هر داده حاوی اطلاعات مهمی است که با عدم لحاظ آن، آن اطلاعات از دست می‌رود. از این رو رهیافت‌هایی که در پیش‌بینی مشاهداتی را از دست می‌دهند، برتری ندارند. از همین رو مطابق پانل فوقانی نمودار شماره‌ی یازده، رهیافت‌های هدريك - پرسکات، فضای- حالت و فیلتر کالمون، فیلتر روتمبرگ که نتایج نسبتاً مشابهی را ارائه می‌کنند، می‌توانند مورد استفاده قرار گیرند. در این بین رهیافت فضای- حالت و فیلتر کالمون که یک روش پارامتری است محققین را درگیر با محاسبات و تخمین‌های نسبتاً پیچیده می‌کند، حال آن که دو روش فیلتر هدريك - پرسکات و

فیلتر روتمبرگ که رهیافت های ناپارامتری هستند با توجه به پیشرفت در نرم افزارهای اقتصادسنجی می توانند به سادگی مورد استفاده قرار گیرند.

یادداشت ها :

- ۱- اثبات روابط این بخش برگرفته از D.S. Pollock (1997) است.
- ۲- اثبات ارائه شده در این بخش برگرفته از Enders(2004) است.
- ۳- به پیروی از واژه نامه‌ی آمار و ریاضی ، در مقاله‌ی حاضر Integration را جمع بستگی و Co-integration را هم جمع بستگی در نظر گرفته ایم، گرچه امروزه واژه هایی مانند جمعی (هم جمعی)، انباشته (هم انباشتگی)، همگرایی و ... نیز مورد استفاده قرار می گیرد.

منابع و مأخذ :

- Abassi Nejad, H & H, Kavand(2007)« An Estimation of the Iranian Productivity With Kalman Filter», *Quarterly Iranian Economy Research*, Volume 1301, Summer (In Persian)
- Adams, C P Fenton and F Larsen (1986)«Differences in Employment Behavior among Industrial Countries,» *Staff Studies for the World Economic Outlook*, World Economic and Financial Surveys, Washington: International Monetary Fund.
- Hozhaber,K, K & A, Boghozian(1977)« A Procedure For estimation of Capital Stock for Different Sectors of Economy in Iran» , *Eghtesad , Journal of school of Economics & political Science* , No 6 Spring (In Persian)
- Khalesi, A & S. S. Namini(2005)« The Determination of Seasonal Output Gap & Effects of Nominal Variable on it, VAR

Model (Case Study: Iran)» *Quarterly Iranian Economy, Research*, Volume 202, spring, pp 67-94 (In Persian)

- Beveridge, S., and C.R.Nelson (1981)« A New Approach to the Decomposition of Economic Time Series into Permanent and Transitory Components with Particular Attention to Measurement of the Business Cycle», *Journal of Monetary Economics* 7,151-172.
- Cerra, V, and S, C, Saxena (2000) *Alternative Methods of estimation Potential Output and the Output Gap: An Application to Sweden* ,IMF Working Paper, WP/00/59.
- Chochrane, John, H (2005) *Time Series for Macroeconomics and Finance*, Chicago University Press.
- Christophe, Schleicher (2003) *Essays on The Decomposition of Economic Variable*, Unpublished, A Thesis Submitted In Partial Fulfillment Of The Requirements For The Degree Of Doctor Of Philosophy, Department of Economics, University of British Columbia.
- Coe, D, T. & T Krueger (1990) *Why is Unemployment So High at Full Capacity? The Persistence of Unemployment, the Natural Rate, and Potential Output in the Federal Republic of Germany*, IMF Working Papers 90/101, International Monetary Fund.
- Enders, W (2004) *Applied Econometric Time Series*, 2nd Edition, New York, John Wiley.
- Everts, M (2006) *Band-Pass Filter*, University of Bern.
- Favero, A. Carlo (2001) *Applied Macroeconomics*, Oxford University Press.

- Gavrilenkov, E, V, Koen (1995) *How Large Was the Output Collapse in Russia? Alternative Estimates and Welfare Implications*, Staff Studies for the World Economic Outlook.
- Giorno, C. P, Richardson, D. Roseveare and P. Van der Nood (1995)« Estimating Potential Output, Output Gaps and structural Budget Balances», *OECD Economic Department*, working Paper No 3.
- Harvey A. C. and A .Jaeger(1993)« Deterendng, Stylized Facts and the Business Cycles» *Journal of Applied Econometrics*, Vol , 8.
- Hayashi, Fumio (2006) *Econometrics*, Princeton University Press.
- Heijdra, B. j. and F Van der, Ploeg, (2002) *Foundations of Modern Macroeconomics*, Oxford University Press.
- Hodrick, R. J. and Prescott, E. C(1980) *Post-war U.S. business cycles: An empirical investigation*. Discussion Paper 451, Carnegie-Mellon University, 1980.
- Hodrick, R. J. and Prescott, E. C(1997) «Post-war U.S. business cycles: An empirical investigation» *Journal of Money, Credit and Banking* 29 (1), Feb, 1-16.
- Morley, J. C, Nelson, C. R, & Zivot, E. (2002) *Why are Beveridge – Nelson and Unobserved components decompositions of GDP so different?*, Review of Econometrics and statistics.

- Pollock, D.S.G.(1997) «Data transformation and de-trending in econometrics, in: Christian Heij, et al. (Eds.)», *System Dynamics in Economic and Financial Models*, Wiley, New York, pp. 327-362, (Chapter 11)
- Rotemberg, J. J. (1998) *A Model for Decomposing Time Series into Trend and Cycle Components*, Harward Business School.
- Sorenen, P, B and Whitta-Jacobsen, H J (2005) *Introducing advanced Macroeconomics: Growth and Business Cycles*,Mc-Graw Hill.
- Zivot , E. , J. Wang (2006) *Modeling Financial Time Series With S-plus* , Second Edition , Springer .

تخمین تولید بالقوه و شکاف تولید با تأکید بر رهیافت های ... ۱۶۹

پیوست الف : برنامه‌ی تجزیه‌ی بوریج نلسن تک متغیره در نرم افزار S-plus

```

Ndecomposition2.ssc          Beveridge-Nelson decomposition
estimation of ARIMA(2,1,2) for log real GDP and BN decomposition

= as.matrix(lngdpq)
s = nrow(lny)
y = diff(lny)

y.dm = dlny - mean(dlny)

create timeSeries object
= timeSeq(from="1/1/1367",to="1/1/1385",by="quarters("
.ts = timeSeries(data=lny,positions=td)
.ts$title = "Log Postwar Quarterly Real GDP"
y.ts = diff(lny.ts)
y.ts.dm = dlny.ts - mean(dlny.ts)

plot data

(mfrow=c(2,1)(
t(lny.ts,main="Log Postwar Quarterly Real GDP("
t(diff(lny.ts),main="Quarterly Growth Rate("

create state space model for ARMA(2,2)

a22.mod = function(parm) {
  phi.1 = parm[1]
  phi.2 = parm[2]
  theta.1 = parm[3]
  theta.2 = parm[4]
  sigma2 = exp(parm[5][ #require positive variance
  ssf.mod = GetSsfArma(ar=c(phi.1,phi.2),ma=c(theta.1,theta.2,(
    sigma=sqrt(sigma2))
  CheckSsf(ssf.mod)

Estimation by mle
use arima.mle to get starting values?

a22.start = c(1.34,-0.70,-1.05,0.51,-0.08(
es(arma22.start) = c("phi.1","phi.2","theta.1","theta.2","ln.sigma2("
a22.mle = SsfFit(arma22.start,dlny.ts.dm,"arma22.mod("
a22.mle
mary(arma22.mle)
(arma22.mle$parameters["ln.sigma2"]

residual diagnostics from Kalman filter
show ACF plot: option 6

arma22 = KalmanFil(dlny.ts.dn,
a22.mod(arma22.mle$parameters|(
ss(kf.arma22(
es(kf.arma22(
t(kf.arma22

BN decomposition

.arma22 = arma22.mod(arma22.mle$parameters(
teredEst.arma22 = SsfMomentEst(dlny.ts.dn,
.arma22,task="STFIL"
t = filteredEst.arma22$state.moment
at = ssf.arma22$mPhi[1:3,1:3[
= t(T.mat%*%solve((diag(3)-T.mat))%*%t(at.t((
t = lny[2:nobs,] + tmp[,1[
= lny[2:nobs,] - BN.t

```

```
create timeSeries objects and plot
ts = timeSeries(data=BN.t,positions=filteredEst.arma22$positions
s = 100*(lny.ts - BN.ts)/BN.ts
(mfrow=c(2,1)(
t(lny.ts, BN.ts,main=" Real GDP and BN Potential Output",reference.grid=F(
t(c.ts,main="BN GAP-Output",reference.grid=F(
```

تذکر : برای اجرای این اسکریپت در نرم افزار *S-plus* یا *finmetrics* ابتدا باید مازول فراخوانی کرده باشید.

پیوست ب : برنامه‌ی تجزیه‌ی بوریچ نلسن چند متغیره در نرم افزار EViews

```
' CALCULATE MULTIVARIATE BEVERIDGE NELSON TRENDS
' ===== STAGE 1: CREATE MATRICES AS IN GRW =====
table(1,1) grw_title
setcolwidth(grw_title,1,90)
grw_title(1,1)="Multivariate Beveridge Nelson Trends"

' ==COLLECT COEFFICIENTS FROM EVIEWSS AND CREATE MATRICES AS IN GRW EQ (4)
matrix coefmat=var1.@coefmat

' =CREATE COINTEGRATING VECTORS AS IN EVIEWSS (INC CONSTANTS) =====
'NB: LAST ROW IS COINTEGRATING CONSTANTS
matrix cointvec=var1.@cointvec

' =====DIMENSIONS OF SYSTEM =====
'NUMBER OF VARIABLES
scalar grw_n=var1.@neqn
scalar grw_bigt=var1.@totalobs/grw_n
'NUMBER OF COINTEGRATING RELATIONS
scalar grw_r=@columns(cointvec)
scalar grw_p=(@rows(coefmat)-grw_r-1)/grw_n
matrix(1,4) dimensions
dimensions(1,1)=grw_n
dimensions(1,2)=grw_bigt
dimensions(1,3)=grw_r
dimensions(1,4)=grw_p

grw_title(1,1)=" No of variables, observations, cointegrating relations, lagged differences"
matrix(grw_n,grw_r) alpha=@transpose(@subextract(coefmat,1,1,grw_r,grw_n))

' =====CREATE BETA =====
matrix(grw_n,grw_r) beta=@subextract(cointvec,1,1,grw_n,grw_r)
' =====CREATE PSI =====
matrix(grw_n,1) psi1=@transpose(@rowextract(coefmat,grw_r+grw_n*grw_p+1))
matrix(grw_n,1) psi2=@transpose(@rowextract(cointvec,grw_n+1))
matrix psi=psi1+alpha*psi2
' ===== CREATE BIGPHI =====
matrix(grw_n*grw_p,grw_n*grw_p) bigphi
matrix bigphishuffled = @transpose(@subextract(coefmat,grw_r+1,1,grw_n*grw_p+grw_r,grw_n))

for !i = 1 to grw_n
for !j= 1 to grw_n
for !k=1 to grw_p
bigphi(!i,(!k-1)*grw_n+!j)=bigphishuffled(!i,!k+grw_p*(!j-1))
```

تخمین تولید بالقوه و شکاف تولید با تأکید بر رهیافت های ... ۱۷۱

```

next
next
next

matrix i_n=@identity(grw_n)
for lk=1 to grw_p-1
matplace(bigphi,i_n, lk*grw_n+1,(lk-1)*grw_n+1)
next

' =====CREATE BIGALPHA, BIGBETA, BIGPSI =====
matrix(grw_n*grw_p,grw_r) bigbeta
matplace(bigbeta,beta,1,1)

matrix(grw_n*grw_p,grw_r) bigalpha
matplace(bigalpha,alpha,1,1)

matrix(grw_n*grw_p,1) bigpsi
matplace(bigpsi,psi,1,1)

' ==STAGE 2 CREATE DATA AND RESIDUALS AS MATRICES =====
var1.makeendog endog
matrix variables=@convert(endog)
matrix(grw_bigt+1,grw_n*grw_p) bigvariables

for li=1 to grw_bigt+1
for lk=1 to grw_p
for lj=1 to grw_n
bigvariables(li,(lk-1)*grw_n+lj)=variables((li+grw_p+1-lk,lj))
next
next
next

matrix(grw_bigt,grw_n*grw_p) grw_bigx
matrix(grw_bigt,grw_n*grw_p) grw_bigdx
for li=1 to grw_bigt
for lj=1 to grw_n*grw_p
grw_bigx(li,lj)=bigvariables(li+1,lj)
grw_bigdx(li,lj)=bigvariables((li+1,lj))-bigvariables((li,lj))
next
next

matrix grw_bigx=@transpose(grw_bigx)
matrix grw_bigdx=@transpose(grw_bigdx)

matrix grw_x=@subextract(grw_bigx,1,1,grw_n,grw_bigt)

'=====STAGE 3 CREATE ALPHA_INFINITY AND PHI_INFINITY (AS IN GRW EQ (9)) =====
scalar grw_bign=grw_n*grw_p
matrix(grw_bign+grw_r,grw_bign+grw_r) grw_a
matplace(grw_a,bigphi,1,1)
matplace(grw_a,@transpose(bigbeta)*bigphi,grw_bign+1,1)
matplace(grw_a,bigalpha,1,grw_bign+1)
matplace(grw_a,@identity(grw_r)+@transpose(bigbeta)*bigalpha,grw_bign+1,grw_bign+1)
matrix(grw_n,grw_bign+grw_r) grw_j
matplace(grw_j,@identity(grw_n))
matrix grw_b_infinity=grw_j'*grw_a*@inverse(@identity(grw_bign+grw_r)-grw_a)
matrix grw_phi_infinity=@subextract(grw_b_infinity,1,1,grw_n,grw_bign)
matrix grw_alpha_infinity=@subextract(grw_b_infinity,1,grw_bign+1,grw_n,grw_bign+grw_r)

'THESSE CHECK CONDITIONS IN GRW EQNS (12) AND (13) ARE SATISFIED
matrix check_phi_infinity=@transpose(beta)*grw_phi_infinity ' SHOULD EQUAL ZEROES
matrix check_alpha_infinity=@transpose(beta)*grw_alpha_infinity 'SHOULD EQUAL -IDENTITY

matrix phi_1_to_p=@subextract(bigphi,1,1,grw_n,grw_n*grw_p)
grw_title(1,1)="PHI_1 TO PHI_P: coefficients on lagged differences"

```

```
' ===STAGE 4 CREATE Demeaned ELEMENTS OF Y =====
matrix(grw_bign+grw_r,1) yconsts
matplace(yconsts,bigpsi,1,1)
matplace(yconsts,@transpose(bigbeta)*bigpsi,grw_bign+1,1)
matrix allconsts=@inverse(@identity(grw_bign+grw_r)-grw_a)*yconsts
matrix grw_bigg=@subextract(allconsts,1,1,grw_bign,1)
matrix grw_kappa=@subextract(allconsts,grw_bign+1,1,grw_bign+grw_r,1)

matrix grw_bigdx_tilde=grw_bigdx-grw_bigg*@transpose(@filledvector(grw_bigt,1))
matrix grw_crs_tilde=@transpose(bigbeta)*grw_bigm-grw_kappa*@transpose(@filledvector(grw_bigt,1))

' ===STAGE 5 CREATE TRENDS AND CONVERT TRENDS AND (TRUNCATED) SERIES TO
matrix grw_xhat=grw_x+grw_alpha_infinity*grw_crs_tilde+grw_phi_infinity*grw_bigdx_tilde
matrix(grw_bigt+grw_p+1,grw_n) grw_xv
matplace(grw_xv,@transpose(grw_x),grw_p+2,1)
mtos(grw_xv,grw_actuals)
matrix(grw_bigt+grw_p+1,grw_n) grw_xhatv
matplace(grw_xhatv,@transpose(grw_xhat),grw_p+2,1)
mtos(grw_xhatv,grw_bn_trends)
'=====
smpl 1368q1 1386q4
group group1 gdp ser03
series cyclical
cyclical=100*(gdp-ser03)/ser03
group group2 cyclical

graph g3.line group1
g3.setelem(1) legend(Actual Output)
g3.setelem(2) legend(Potential Output)
g3.options size(6,2)
g3.legend position(0,5,0) -inbox
graph g2.line group2
g2.setelem(1) legend(Gap Output)
g2.options size(6,2)
g2.legend position(0,5,0) -inbox
graph mygraph.merge g3 g2
mygraph.addtext(t) Multivariate Beveridge- Nelson Decomposition for Macroeconomic Time Series
show mygraph
```

تذکر: برای اجرای این اسکریپت در نرم افزار EViews باید متغیرهایی را که می خواهید تجزیه کنید، در یک آبجکت با نام *var1* در فایل کاری ایجاد کنید.